

УДК 539.27:546.19'711

ФИЗИЧЕСКАЯ ХИМИЯ

Академик АН БССР Н. И. СИРОТА, Г. А. ГОВОР

**НЕЙТРОНОГРАФИЧЕСКОЕ ИССЛЕДОВАНИЕ МАГНИТНЫХ
И КРИСТАЛЛОГРАФИЧЕСКИХ ФАЗОВЫХ ПЕРЕХОДОВ
В АРСЕНИДЕ МАРГАНЦА ПРИ ИЗМЕНЕНИИ ДАВЛЕНИЯ
И ТЕМПЕРАТУРЫ**

Своеобразие магнитных и электрических свойств арсенида марганца и не вполне выясненная природа структурных и магнитных переходов придает большой интерес его исследованиям.

Известно⁽¹⁾, что наблюдаемый в арсениде марганца магнитный переход от ферромагнитного состояния к парамагнитному при 40° С представляет собой магнитный переход первого рода, сопровождающийся скачком в изменении удельного объема кристаллической решетки⁽²⁾, электропроводности⁽³⁾, магнетокалорического эффекта⁽⁴⁾, скрытой теплоты превращения⁽⁵⁾, коэффициента сжимаемости и расширения⁽⁶⁾ и других физико-химических свойств. Наряду с этим переходом, в арсениде марганца отмечается второй переход вблизи 400° К, который сопровождается изменением, например, закона температурного хода величины обратной магнитной восприимчивости⁽¹⁾.

В работах^(7, 8) было исследовано влияние давления на указанные магнитный и структурный переходы по измерению электропроводности и магнитной проницаемости арсенида марганца. Полученные авторами данные представляют большой интерес. Однако, несмотря на многочисленные исследования этих переходов, большинство из них выполнено при помощи косвенных — калориметрических, дилатометрических, резисторных и других методов. До последнего времени лишь в работах^(9, 10) применялся нейтронографический метод при помощи которого были решены некоторые частные вопросы. Так, Бэкона и Стритом⁽⁹⁾ было показано, что в ферромагнитном состоянии векторы магнитных моментов марганца лежат в плоскости, перпендикулярной кристаллографической оси с. Этот вывод был подтвержден в работе⁽¹⁰⁾, показавшей, что в твердых растворах MnAs — MnSb направление вектора магнитного момента лежит в базисной плоскости.

В настоящей работе для построения магнитной и структурной фазовой диаграммы проведено исследование арсенида марганца при изменении температуры от 100 до 450° К и изменении давления от 0 до 9000 бар. Образцы арсенида марганца стехиометрического состава приготавливались путем сплавления в двухтемпературной печи в лодочках, покрытых окисью алюминия и помещенных в эвакуированную кварцевую ампулу. Сплавы выдерживались в жидком состоянии в течение 3 час. Выплавленные образцы подвергались томогенизирующему отжигу. Медленно охлажденные после отжига сплавы измельчались до размера частиц 50 м. Затем спрессовывались в цилиндрические образцы диаметром 10 мм и высотой 18 мм. Спрессованные образцы подвергались отжигу в течение 24 час. при 650° С.

Нейтронографические исследования проводились на горизонтальном канале реактора ИРТ-2000 АН БССР. Конструкция нейтронографа выполнена на базе ГУР-3 и практически аналогична использованной ранее⁽¹¹⁾. Некоторая модернизация установки касалась главным образом усиления защиты счетчика и коллиматора.

Образец помещался в специально сконструированную камеру высокого давления (12). При исследовании арсенида марганца использовалась камера, изготовленная из алюминиевого сплава В95. В качестве среды, передающей давление, применялся сероуглерод. Достижение заданных значений давления и температуры выше комнатной осуществлялось применением внешнего нагрева с помощью нагревателей сопротивления. Точки с температурой ниже 200° К в связи с замерзанием сероуглерода достигались путем изотермического повышения давления, например, при комнатной температуре с последующим ее изобарическим снижением до заданной температуры путем обдува камеры парами жидкого азота.

Были проведены несколько серий съемок нейтронограмм. В первой серии снимались полные нейтронограммы. Во второй проводились съемки рефлексов (100), (101) и (002). В третьей серии измерялось изменение интенсивности рефлекса (100) при определенном положении счетчика в зависимости от повышения и снижения давления при постоянстве температуры или в зависимости от увеличения и уменьшения температуры при постоянстве давления. В четвертой серии экспериментов измерялась интенсивность диффузного рассеяния в интервале углов от 2 до 18°.

Анализ полученных нейтронограмм, в том числе положения и интенсивности рефлексов на них, позволил построить фазовую диаграмму магнитных и структурных переходов в арсениде марганца, наблюдавшихся

Рис. 1. Фазовая диаграмма структурных и магнитных переходов в арсениде марганца

как при нагреве и повышении давления, так и при охлаждении и снижении давления. На рис. 1 сплошными жирными линиями, обозначенными прописными буквами, отмечены переходы, наблюдаемые при нагреве и возрастании давления; тонкими линиями, обозначенными строчными буквами, отмечены переходы, наблюдаемые при охлаждении и понижении давления.

Согласно полученным данным, при нагреве в точке А при температуре 318° К имеет место переход ферромагнитной фазы в парамагнитную с относительным изменением (уменьшением) удельного объема — 1,8%. При температурах ниже 318° К изотермическое повышение давления вызывает фазовый переход, сопровождаемый большим уменьшением удельного объема, достигающим, например, при температуре перехода 135° К величины — 11,4%. Начало перехода при повышении давления отмечено на линии AB и конец — на линии AC. Как видно из рис. 1, при значениях температуры выше 300° К имеет место переход $\alpha_{\text{фм}} \rightarrow \beta_{\text{пм}}$, ниже 300° К — переход $\alpha_{\text{фм}} \rightarrow \beta'_{\text{пм}}$, и ниже 200° К — переход $\alpha_{\text{фм}} \rightarrow \beta''$. Таким образом, в области, расположенной между линиями AB и AC, существуют две фазы: $\alpha_{\text{фм}}$ и $\beta_{\text{пм}}$, $\alpha_{\text{фм}}$ и $\beta'_{\text{пм}}$ или $\alpha_{\text{фм}}$ и β'' .

Фазы $\alpha_{\text{фм}}$, $\beta_{\text{пм}}$, $\beta'_{\text{пм}}$ и β'' имеют никель-арсенидную структуру типа B8, с различными степенями орторомбического искажения.

При изотермическом снижении давления наблюдается значительный гистерезис превращения парамагнитной фазы $\beta_{\text{пм}}$, $\beta'_{\text{пм}}$ и β'' в ферромагнитную фазу $\alpha_{\text{фм}}$. В этом случае начало обратного превращения $\beta_{\text{пм}} \rightarrow \alpha_{\text{фм}}$, $\beta'_{\text{пм}} \rightarrow \alpha_{\text{фм}}$ или $\beta'' \rightarrow \alpha_{\text{фм}}$ отмечается при значениях давления и температуры, соответствующих линии ac и конец превращения — линии ab.

При температурах в интервале от 318 до 380° К изотермическое повышение давления обусловливает превращение с незначительным уменьшением удельного объема и некоторым увеличением степени искажения кристаллической решетки. Начало превращения отмечается на линии KL и конец — на линии KM . В интервале изменения давления между линиями KL и KM имеет место переход от фазы $\beta_{\text{им}}$ к фазе $\beta_{\text{им}'}$. Заметим, что при повышении температуры при $P = 0$ в экстраполированной точке

K этот переход не отмечается. Он становится заметным при некотором давлении $P > 0$. Обратный переход $\beta_{\text{им}'} \rightarrow \beta_{\text{им}}$ при снятии давления практически не наблюдается вследствие значительного гистерезиса. Линии KL и KM (рис. 1) были получены при съемке рефлекса (100) при повышении давления на образце, предварительно нагретом до заданной температуры при $P = 0$.

При изотермическом охлаждении образцов от комнатной температуры и давлениях выше давления, соответствующего точке d , наблюдается переход фазы $\beta_{\text{им}'}$ в фазу β'' , сопровождаемый значительным уменьшением удельного объема. Начало перехода при охлаждении отмечается на линии de и конец — на линии fe . Обратный переход при повышении температуры наблюдается без значительного гистерезиса. При значениях давления, превышающих отмеченное точкой e , приблизительно 9000 бар, этот переход не наблюдается.

После завершения перехода $\beta_{\text{им}'} \rightarrow \beta''$ дальнейшее изобарическое понижение температуры сопровождается появлением магнитных составляющих рефлексов. Линия gh характеризует магнитный переход парамагнитной фазы β'' в метамагнитную фазу $\beta_{\text{им}''}$, происходящий в узком интервале температур. В ряде случаев, например при первоначальных измерениях на данном образце, имеет место более интенсивный переход на этой же линии gh , который можно охарактеризовать как переход парамагнитной фазы β'' в ферромагнитную $\beta_{\text{им}''}$.

Из рассмотрения нейтронограмм, приведенных на рис. 2, видно, что с

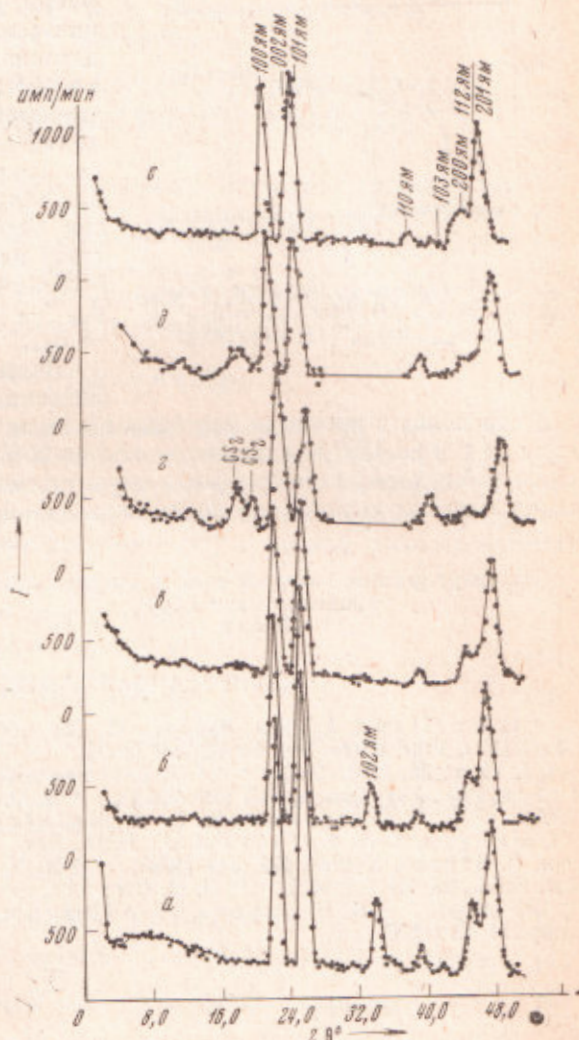


Рис. 2. Нейтронограммы: a, b — фазы $\alpha_{\text{им}}$ при $P = 0$, $T = 115^{\circ}\text{K}$ и $P = 0$, $T = 293^{\circ}\text{K}$ соответственно; c — фазы $\beta_{\text{им}}$ при $P = 0$, $T = 323^{\circ}\text{K}$; d — фазы $\beta_{\text{им}''}$ при $P = 7000$ бар, $T = 120^{\circ}\text{K}$; e — фазы $\beta_{\text{им}'}$ при $P = 7000$ бар, $T = 293^{\circ}\text{K}$; e — фазы $\beta_{\text{им}'}$ при $P = 0$, $T = 420^{\circ}\text{K}$

повышением температуры интенсивность рефлексов, за исключением интенсивности рефлекса (110), увеличивается. Это свидетельствует о том, что степень орторомбического искажения фазы $\beta_{\text{им}}'$ при изобарическом повышении температуры плавно уменьшается, приближаясь к степени искажения фазы $\alpha_{\text{фм}}$.

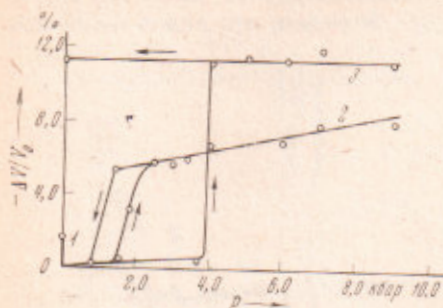


Рис. 3. Изменение удельного объема при $\alpha_{\text{фм}} \rightleftharpoons \beta_{\text{им}}$ (1), при $\alpha_{\text{фм}} \rightleftharpoons \beta_{\text{им}}'$ (2) и при $\alpha_{\text{фм}} \rightleftharpoons \beta_{\text{им}}''$ (3) переходах

вых переходов в арсениде марганца в зависимости от изменения температуры от 100 до 450° К и давления от 0 до 9000 бар свидетельствует о сложности наблюдавшихся магнитных и структурных превращений, для исследования которых желательна постановка дальнейших комплексных исследований.

Институт физики твердого тела и полупроводников
Академия наук БССР
Минск

Поступило
24 VIII 1970

ЦИТИРОВАННАЯ ЛИТЕРАТУРА

- ¹ C. Guillaud, J. Phys. Radium, 12, 223 (1951). ² B. T. M. Willis, I. P. Rooksby, Proc. Phys. Soc. B, 67, 290 (1954). ³ G. Fisher, W. B. Pearson, Canad. J. Phys., 36, 1010 (1958). ⁴ A. J. P. Meyer, C. R., № 246, 1820 (1958). ⁵ L. F. Babes, Proc. Roy. Soc. A, 117, 680 (1928). ⁶ Н. П. Гражданкина, УФН, 96, 291 (1968). ⁷ J. B. Goodenough, J. A. Kafalos, Phys. Rev., 157, 389 (1967). ⁸ N. Menyak, J. A. Kafalos et al., Phys. Rev., № 177, 942 (1969). ⁹ G. E. Bacon, R. Street, Nature, 175, 518 (1955). ¹⁰ N. N. Sirota, E. A. Vasilev, Phys. Stat. Solid., 28, K175 (1968). ¹¹ Н. Н. Сирота, Э. А. Васильев, Докл. АН БССР, 12, 786 (1968). ¹² Н. Н. Сирота, Г. А. Говор и др., Авт. свид., № 269360; Бюлл. изобр., № 15 (1970).